

## بررسی مقایسه‌ای رفتار خوردگی چهار فولاد آستنیتی کروم و منگنزدار و فولاد زنگ‌نزن ۳۱۶ کم کربن در محلول ۰/۱ مولار اسید سولفوریک\*

آرش فتاح الحسینی<sup>(۱)</sup> سجاد علی‌زاد<sup>(۲)</sup> محسن اسدی اسدآباد<sup>(۳)</sup>

### چکیده

در این تحقیق، چهار فولاد آستنیتی کروم و منگنزدار (بدون نیکل) توسط کوره‌ی ذوب القایی تحت خلاء تولید شد. پس از آن، ورق‌هایی از فولادهای تولید شده به ضخامت ۱۰ میلی‌متر، با فرایندهای متوالی نورد داغ به دست آمد. رفتار خوردگی چهار فولاد آستنیتی کروم و منگنزدار و فولاد زنگ‌نزن ۳۱۶ کم کربن در محلول ۰/۱ مولار اسید سولفوریک، با انجام آزمون‌های پتانسیل مدار باز، پلاریزاسیون پتانسیودینامیک و طیف‌سنجی امپدانس الکتروشیمیایی ارزیابی شد. نتایج نشان دادند که پتانسیل مدار باز چهار فولاد آستنیتی، با گذشت زمان به سمت مقادیر مثبت انتقال می‌یابد. افزون بر این، نمودارهای پلاریزاسیون پتانسیودینامیک نشان دادند که چهار فولاد آستنیتی رفتار رویینگی قابل قبولی را ارائه می‌دهند. نمودارهای نایکوئیست چهار فولاد آستنیتی در محلول ۰/۱ مولار اسید سولفوریک، یک حلقه‌ی خازنی در فرکانس‌های بالا و میانی و یک حلقه‌ی القایی در فرکانس‌های کم را نشان دادند.

**واژه‌های کلیدی** فولاد آستنیتی کروم و منگنزدار، رفتار خوردگی، پلاریزاسیون پتانسیودینامیک، طیف‌سنجی امپدانس الکتروشیمیایی.

## A Comparative Investigation of Corrosion Behaviour of Four Cr-Mn Austenitic Steels and 316L Stainless Steel in 0.1 M H<sub>2</sub>SO<sub>4</sub> Solution

A. Fattah-alhosseini S. Alizad M. Asadi Asadabad

### Abstract

*In this study, four Cr-Mn austenitic steels (Ni-free) were fabricated by vacuum induction melting. Several plates with 10 mm thickness were produced by hot-rolling. Corrosion behaviour of Cr-Mn austenitic steels and 316L stainless steel in 0.1 M H<sub>2</sub>SO<sub>4</sub> solution was investigated using open-circuit potential, potentiodynamic polarization, and electrochemical impedance spectroscopy (EIS) test techniques. The results indicated that the open-circuit potentials of four Cr-Mn austenitic steels are shifted towards positive values. In addition, the potentiodynamic polarization curves suggested that four Cr-Mn austenitic steels represent comparable passive behaviour within the 0.1 M H<sub>2</sub>SO<sub>4</sub> solution. Nyquist plots for the Cr-Mn steels in 0.1 M H<sub>2</sub>SO<sub>4</sub> solution also showed a capacitive loop at high and medium frequencies and an inductive loop at low frequencies.*

**Key Words** Cr-Mn Austenitic steel, Corrosion behaviour, Potentiodynamic polarization, Electrochemical Impedance Spectroscopy.

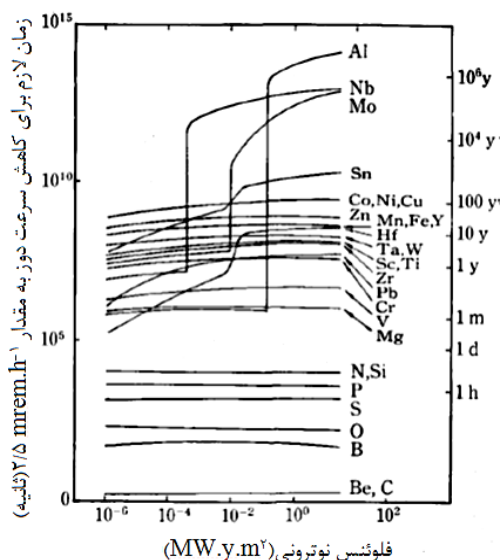
\* نسخه‌ی نخست مقاله در تاریخ ۹۲/۱/۲۴ و نسخه‌ی پایانی آن در تاریخ ۹۳/۲/۲۹ به دفتر نشریه رسیده است.

(۱) نویسنده‌ی مسئول، استادیار، گروه مهندسی مواد، دانشکده مهندسی، دانشگاه بوعلی سینا، همدان

(۲) دانشجوی کارشناسی ارشد، گروه مهندسی مواد، دانشکده مهندسی، دانشگاه بوعلی سینا، همدان

(۳) استادیار، پژوهشکده‌ی مواد، پژوهشگاه علوم و فنون هسته‌ای، اصفهان

کاهش مقاومت به خوردگی را حل شدن مستقیم نیکل در مذاب فلزات سدیم، قلع و لیتیم دانسته‌اند. به این ترتیب، کاهش درصد نیکل در فولادهای آستنیتی باعث افزایش مقاومت در برابر خوردگی فلز مذاب می‌شود [5].



شکل ۱ زمان لازم برای خنک شدن مواد دیواره‌ی اول محفظه‌ی واکنش و کاهش نرخ دوز سطح به مقدار  $2/5 \text{ mrem.h}^{-1}$  [2]

افزون بر این، باید توجه داشت که نیکل عنصر آلیاژی گران‌قیمت در فولادهای زنگ‌نزن است و جای‌گزینی آن با عناصر ارزان‌تر مانند منگنز و کربن، قیمت این فولادها را به‌طور چشم‌گیری کاهش می‌دهد [6].

مشکلات فولادهای زنگ‌نزن آستنیتی (به‌خصوص برای کاربرد در نیروگاه‌های تولید انرژی) سبب شده است تا محققان تلاش زیادی برای اصلاح ترکیب شیمیایی این دسته از فولادهای زنگ‌نزن به‌عمل آورند. همان‌گونه که گفته شد، عناصر نیکل، نیتروژن، مولیبدن، نایوبیم، مس و آلومینیم می‌باید از ترکیب شیمیایی فولادهای زنگ‌نزن آستنیتی حذف و با عناصر مناسب دیگر جای‌گزین شوند [6].

در فولادهای زنگ‌نزن آستنیتی سری ۳۰۴، به‌دلیل نبود مولیبدن، مس و آلومینیم، مهم‌ترین مسأله جای‌گزینی نیکل با عناصر مناسب دیگر است. منگنز

## مقدمه

راديوآکتیویته‌ی القا‌ی (Induced radioactivity) عناصر، اصلی‌ترین مشکل استفاده از فولادهای زنگ‌نزن سری ۳۰۰ در صنایع نیروگاهی است [1]. از آن‌جا که مواد در معرض نوترون‌های پر انرژی فعال می‌شوند، موضوع کاهش راديوآکتیویته‌ی مواد در معرض تشعشع یکی از مهم‌ترین مسائل از نقطه‌نظر ایمنی، تعمیراتی، مدیریت زباله‌ها و آلودگی محیط زیست برای نیروگاه‌ها می‌باشد [2].

پدیده‌ی راديوآکتیویته‌ی القا‌ی، در مورد بسیاری از عناصر توسط محققان بررسی شده است. در شکل (۱)، زمان لازم برای کاهش نرخ دوز  $\text{dose}$  سطح به مقدار  $2/5 \text{ mrem.h}^{-1}$  (که در بسیاری از موارد یک سطح ایمن در نظر گرفته می‌شود)، برای بعضی از عناصر نشان داده شده است. با توجه به شکل (۱)، عناصری مانند سیلیسیم، کربن و بور در فلوئنس نوترونی برابر با  $1 \text{ MW.y.m}^2$ ، زمان خنک شدن خیلی کمی را نشان می‌دهند. برای عنصر کروم، زمان خنک شدن تقریباً ۱ سال و برای عناصر آهن و تنگستن، این زمان حدود ۱۰ سال است. این در حالی است که نیکل در همان مقدار فلوئنس نوترونی، برای خنک شدن به زمانی حدود ۱۰۰ سال نیاز دارد. زمان خنک شدن برخی از عناصر مانند نایوبیم، آلومینیم، مولیبدن و قلع، به مقدار فلوئنس نوترونی آن‌ها بستگی دارد [2,3]. عناصر نیکل، نیتروژن، مولیبدن، نایوبیم، مس، سرب و آلومینیم، جزو عناصری با راديوآکتیویته‌ی بالا محسوب می‌شوند و حضور آن‌ها در مواد در معرض تشعشع، باعث ایجاد مشکلات راديوآکتیو می‌شود. بنابراین، غلظت آن‌ها باید تا حد ممکن محدود شود [4].

فولادهای زنگ‌نزن آستنیتی سری ۳۰۰، در برابر بسیاری از محیط‌های خوردنده مانند اسیدهای آلی و محیط‌های حاوی یون کلر، مقاومت به خوردگی خوبی دارند، اما در برخی از محیط‌ها مانند مذاب فلزات سدیم، قلع و لیتیم، به‌دلیل حضور نیکل، مقاومت به خوردگی خوبی ندارند. بسیاری از محققان، دلیل این

جدول (۱)، ترکیب شیمیایی این فولادها به همراه ترکیب شیمیایی فولاد زنگ‌نزن نوع ۳۱۶ کم کربن نشان داده شده است. برای تولید ورق، عملیات نورد داغ بر روی شمش‌های ریخته‌گری شده انجام شد. برای این منظور، شمش‌های تولیدی با ضخامت ۴۰ میلی‌متر در دمای  $1200^{\circ}\text{C}$  به مدت زمان ۲ ساعت گرم شدند. پس از آن، ابتدا ضخامت به ۳۰ و سپس به ۲۲ میلی‌متر کاهش یافت. در ادامه، ورق‌ها به مدت ۱۰ دقیقه در دمای  $1100^{\circ}\text{C}$  گرم شدند و ضخامت به ۱۸ و در نهایت، به ۱۰ میلی‌متر رسانده شد. پس از سرد شدن فولاد در هوا برای حصول ساختاری همگن، عملیات تاب‌کاری انجام شد. به این منظور، ابتدا ورق‌ها در دمای  $1050^{\circ}\text{C}$  به مدت ۱ ساعت گرم و سپس، در آب سریع سرد شدند.

برای مقایسه‌ی رفتار خوردگی چهار فولاد آستینیتی تولید شده، الکتروکوری تهیه شد. برای این منظور، پس از اتصال سیم مسی روکش‌دار به نمونه‌ها و انجام مانت سرد، عملیات سنباده‌زنی در حالت تر تا سنباده‌ی شماره‌ی ۱۲۰۰ و عملیات چربی‌زدایی انجام شد. سپس، نمونه‌ها با آب دوبار تقطیر شده شسته شدند و پس از خشک کردن با هوای گرم، آزمون‌های الکتروشیمیایی مورد نظر به سرعت بر روی آن‌ها انجام شد.

مهم‌ترین عنصر جای‌گزین برای نیکل در طراحی فولادهای کم‌فعال آستینیتی است. منگنز نسبت به نیکل، از قدرت پایدارسازی آستینیت کم‌تری برخوردار است و از آن‌جا که افزودن بیش از حد منگنز باعث کاهش مقاومت به خوردگی و آسانی تشکیل ترکیبات بین‌فلزی می‌شود، باید از ترکیبی از کربن و منگنز برای پایدارسازی فاز آستینیت استفاده کرد [6-8].

البته باید در نظر داشت که افزودن بیش از حد کربن به فاز آستینیت، باعث تشکیل  $M_{23}C_6$  در مرز دانه‌ها و کاهش چقرمگی و مقاومت به خوردگی فولاد می‌شود. بنابراین، باید از ترکیب بهینه‌ای از عناصر کربن و منگنز برای پایدارسازی فاز آستینیت استفاده کرد. افزون بر این، باید توجه داشت که می‌باید غلظت عناصری که باعث ناپایداری فاز آستینیت می‌شوند (مانند کروم، سیلیسیم، تنگستن، وانادیم و تیتانیم) را تا حد امکان کم کرد [9].

هدف از انجام این تحقیق، مقایسه‌ی رفتار خوردگی چهار فولاد آستینیتی کروم و منگنزدار (بدون نیکل) تولید شده، در محلول اسید سولفوریک ۰/۱ مولار با یک‌دیگر و با فولاد زنگ‌نزن نوع ۳۱۶ کم کربن می‌باشد.

### مواد و روش تحقیق

چهار فولاد آستینیتی کروم و منگنزدار جدیداً طراحی شده، به روش ذوب القایی تهیه شدند. در

جدول ۱ ترکیب شیمیایی چهار فولاد آستینیتی کروم و منگنزدار و فولاد زنگ‌نزن ۳۱۶ کم کربن بر حسب درصد وزنی

| تیتانیم | وانادیم | گوگرد  | فسفر   | مولیبدن | سیلیسیم | نیکل | منگنز | کروم  | کربن  |                                  |
|---------|---------|--------|--------|---------|---------|------|-------|-------|-------|----------------------------------|
| ۰/۰۰۰۳۲ | ۰/۰۷۲۱  | ۰/۰۰۸۷ | ۰/۰۰۶۵ | ---     | ۰/۰۶۷۶  | ---  | ۱۸/۵۴ | ۱۲/۶۶ | ۰/۲۳۳ | فولاد کروم و منگنزدار اول (S1)   |
| ۰/۰۰۰۲۰ | ۰/۰۵۵۱  | ۰/۰۱۱۳ | ۰/۰۰۶۶ | ---     | ۰/۱۷۶   | ---  | ۱۹/۵۸ | ۱۱/۹۹ | ۰/۲۷۷ | فولاد کروم و منگنزدار دوم (S2)   |
| ۰/۰۰۰۳۷ | ۰/۰۴۷۹  | ۰/۰۰۹۷ | ۰/۰۰۵۸ | ---     | ۰/۷۷۶   | ---  | ۲۳/۸۵ | ۱۱/۳۱ | ۰/۰۵۳ | فولاد کروم و منگنزدار سوم (S3)   |
| ۰/۰۰۰۲۰ | ۰/۰۵۰۱  | ۰/۰۰۷۷ | ۰/۰۰۵۵ | ---     | ۰/۱۰۳   | ---  | ۱۸/۲۶ | ۱۰/۳۲ | ۰/۲۹۴ | فولاد کروم و منگنزدار چهارم (S4) |
| ---     | ---     | ۰/۰۳   | ۰/۰۳   | ۲/۳۲    | ۰/۴۷    | ۱۳/۴ | ۱/۴   | ۱۷/۵۰ | ۰/۰۳  | فولاد زنگ‌نزن ۳۱۶ کم کربن        |

سطح در محیط اسیدی است. اما با گذشت زمان، پتانسیل مدار باز به سمت مقادیری مثبت انتقال می‌یابد. این روند برای سایر فولادهای زنگ‌نزن آستنیتی در محیط‌های اسیدی مشابه نیز گزارش شده است [14]. این رفتار، نشان‌دهنده‌ی تشکیل لایه‌ی رویین و بیش‌تر شدن نقش محافظ‌کننده‌ی آن با گذشت زمان می‌باشد. افزون بر این، شکل (۲) نشان می‌دهد که پس از گذشت نیم ساعت قرارگیری الکترودهای کاری در محلول، حالت کاملاً پایدار به‌دست آمده است.

### آزمون پلاریزاسیون پتانسیودینامیک

شکل‌های (۳-الف) و (۳-ب)، به‌ترتیب نمودارهای پلاریزاسیون پتانسیودینامیک چهار فولاد آستنیتی کروم و منگن‌دار و فولاد زنگ‌نزن ۳۱۶ کم کربن در محلول ۰/۱ مولار اسید سولفوریک پس از غوطه‌وری به‌مدت زمان نیم ساعت تحت شرایط پتانسیل مدار باز را نشان می‌دهد. همان‌طور که در شکل (۳-الف) مشاهده می‌شود، چهار فولاد آستنیتی مانند فولاد زنگ‌نزن ۳۱۶ کم کربن رفتار روینگی را نشان می‌دهند و محدوده‌ی روینگی برای هر چهار فولاد آستنیتی تولیدی، به‌طور تقریبی در حدود ۱/۲ ولت است. افزون بر این، با مشاهده‌ی شکل (۳-الف) آشکار می‌شود که شروع منطقه‌ی روینگی گذرا برای هر چهار فولاد آستنیتی، در پتانسیل تقریبی ۰/۹ ولت است. در این ناحیه، چگالی جریان با افزایش پتانسیل شروع به افزایش می‌کند.

در جدول (۲)، مقادیر چگالی جریان، پتانسیل خوردگی و چگالی جریان بحرانی روینگی که از نمودارهای پلاریزاسیون پتانسیودینامیک در شکل (۳) به‌دست آمده‌اند، نشان داده شده است. همان‌طور که در این جدول مشاهده می‌شود، چگالی جریان خوردگی چهار فولاد آستنیتی تولیدی، در محلول ۰/۱ مولار اسید سولفوریک، در محدوده‌ی  $10^{-4}$  آمپر بر سانتی‌متر مربع است و این نشان‌دهنده‌ی مقاومت به خوردگی مناسب آن‌ها در این محیط اسیدی است. البته در این جدول

تمامی آزمون‌ها با استفاده از پیل استاندارد سه الکترودی، یک عدد الکترود پلاتین به‌عنوان الکترود کمکی و الکترود نقره/ کلرید نقره به‌عنوان الکترود مرجع، انجام شدند. گفتنی است که در این پژوهش، تمامی پتانسیل‌ها نسبت به این الکترود مرجع گزارش شده است. برای انجام تمامی آزمون‌های الکتروشیمیایی، از محلول ۰/۱ مولار اسید سولفوریک استفاده شده است.

به‌منظور ارزیابی رفتار خوردگی چهار فولاد آستنیتی کروم و منگن‌دار تولیدی در محلول ۰/۱ مولار اسید سولفوریک، ابتدا هر نمونه در پتانسیل مدار باز به‌مدت زمان نیم ساعت غوطه‌ور شد تا به‌حالت پایدار برسد. سپس، آزمون‌های پلاریزاسیون پتانسیودینامیک (با نرخ روبش پتانسیل برابر با ۱ میلی‌ولت بر ثانیه -10 [12] و طیف‌سنجی امپدانس الکتروشیمیایی در پتانسیل مدار باز و در محدوده فرکانسی ۱۰۰ کیلوهرتز تا ۱۰ میلی‌هرتز با دامنه‌ی موج ۱۰ میلی‌ولت، انجام شدند [13].

برای انجام آزمون‌های الکتروشیمیایی، از دستگاه پتانسیواستات/گالوانواستات اتوآلب (Auto-lab) و نرم‌افزار نوا (NOVA) استفاده شد و برای اطمینان از به‌دست آمدن نتایج دقیق، هر آزمون الکتروشیمیایی سه بار تکرار شد.

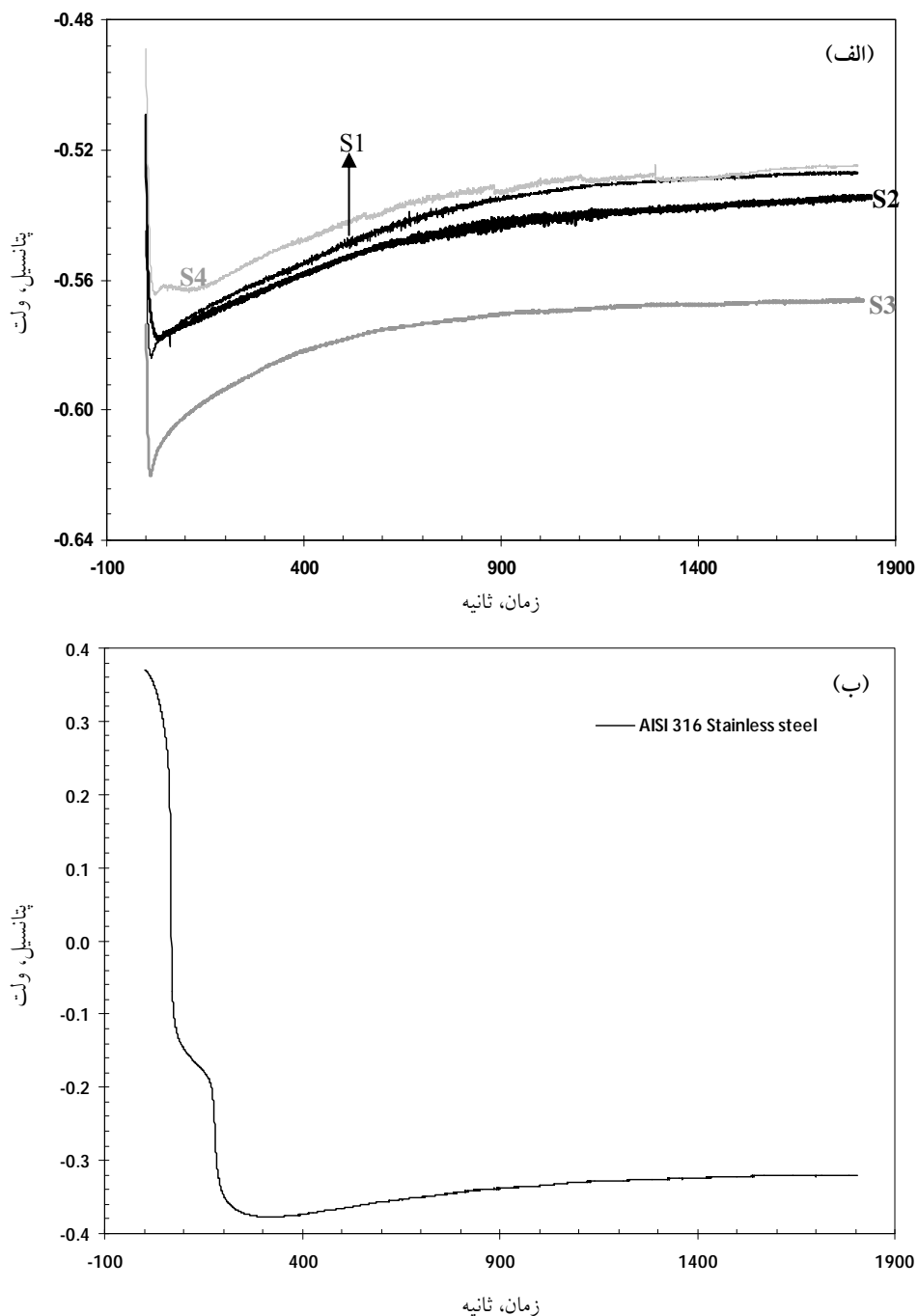
## نتایج و بحث

### آزمون تغییرات پتانسیل مدار

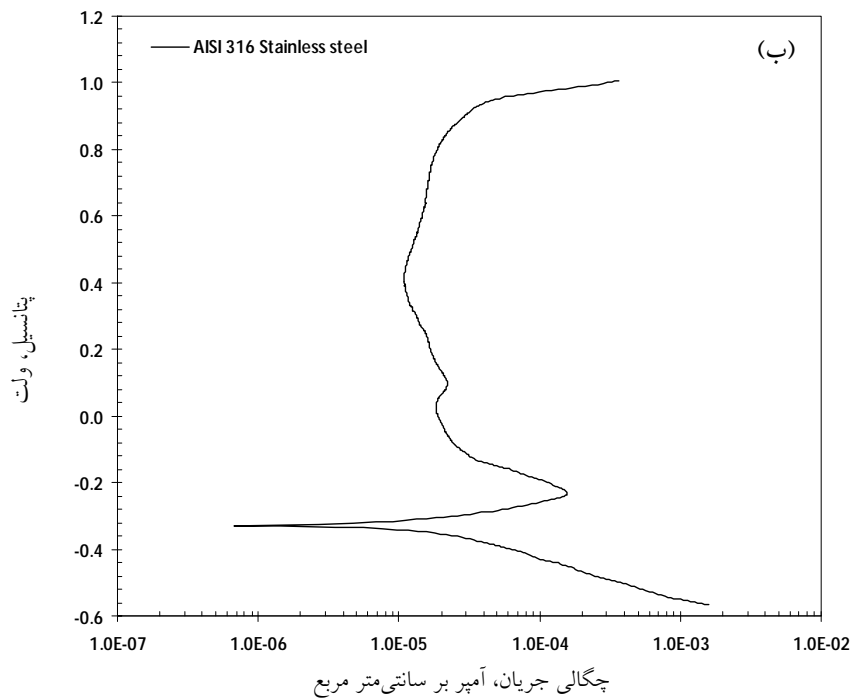
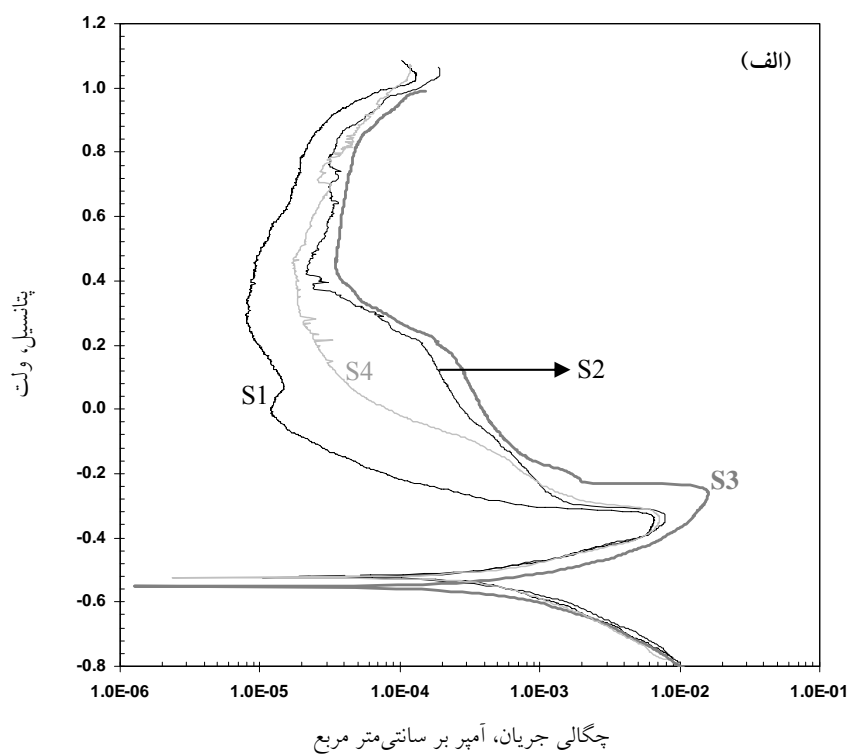
در شکل‌های (۲-الف) و (۲-ب)، به‌ترتیب نمودارهای تغییرات پتانسیل مدار باز چهار فولاد آستنیتی کروم و منگن‌دار تولیدی و فولاد زنگ‌نزن ۳۱۶ کم کربن در محلول ۰/۱ مولار اسید سولفوریک برحسب زمان نشان داده شده‌اند. همان‌طور که در شکل (۲) مشاهده می‌شود، در ابتدای غوطه‌وری، پتانسیل‌های چهار فولاد آستنیتی و فولاد زنگ‌نزن ۳۱۶ کم کربن به‌طور سریع کاهش می‌یابند و این نشان‌دهنده‌ی انحلال لایه‌ی اکسیدی تشکیل شده بر روی

واقع است که در حدود ۱۰ برابر کم‌تر از فولادهای آستنیتی تولیدی است.

مشاهده می‌شود که چگالی جریان خوردگی فولاد زنگ‌نزن ۳۱۶ کم کربن در محلول ۰/۱ مولار اسید سولفوریک، در محدوده‌ی  $10^{-5}$  آمپر بر سانتی‌متر مربع



شکل ۲ نمودارهای تغییرات پتانسیل مدار باز: (الف) چهار فولاد آستنیتی کروم و منگنزدار و (ب) فولاد زنگ‌نزن ۳۱۶ کم کربن در محلول ۰/۱ مولار اسید سولفوریک.



شکل ۳ نمودارهای پلاریزاسیون پتانسیودینامیک؛ (الف) چهار فولاد آستنیتی کروم و منگنزدار و (ب) فولاد زنگ‌نزن ۳۱۶ کم کربن در محلول ۰/۱ مولار اسید سولفوریک پس از نیم ساعت غوطه‌وری تحت شرایط پتانسیل مدار باز (نرخ روبش پتانسیل برابر با ۱ میلی‌ولت در ثانیه).

جدول ۲ مقادیر چگالی جریان، پتانسیل خوردگی و چگالی جریان بحرانی رویینگی چهار فولاد آستنیتی تولیدی

| پتانسیل<br>شکست لایه‌ی<br>رویین (ولت) | پتانسیل<br>رویینگی<br>اولیه (ولت) | پتانسیل<br>خوردگی<br>(ولت) | چگالی جریان بحرانی<br>رویینگی<br>(آمپر بر سانتی متر مربع) | چگالی جریان<br>خوردگی<br>(آمپر بر سانتی متر مربع) |                                     |
|---------------------------------------|-----------------------------------|----------------------------|---|---|-------------------------------------|
| ۰/۷۹۹                                 | -۰/۳۲۵                            | -۰/۵۱۸                     | ۶/۴۳ × ۱۰-۳   | ۴/۳ × ۱۰-۴  | فولاد کروم و منگن‌دار اول<br>(S1)   |
| ۰/۷۹۳                                 | -۰/۳۲۳                            | -۰/۵۲۴                     | ۷/۷۴ × ۱۰-۳   | ۴/۱ × ۱۰-۴  | فولاد کروم و منگن‌دار دوم<br>(S2)   |
| ۰/۷۸۸                                 | -۰/۲۵۰                            | -۰/۵۵۲                     | ۱/۵۳ × ۱۰-۲   | ۳/۷ × ۱۰-۴  | فولاد کروم و منگن‌دار سوم<br>(S3)   |
| ۰/۷۸۳                                 | -۰/۳۲۰                            | -۰/۵۲۵                     | ۶/۸۵ × ۱۰-۳   | ۳/۴ × ۱۰-۴  | فولاد کروم و منگن‌دار<br>چهارم (S4) |
| ۰/۹۳۶                                 | -۰/۲۲۲                            | -۰/۳۲۹                     | ۱/۵۱ × ۱۰-۴   | ۱/۳ × ۱۰-۵  | فولاد زنگ‌زن ۳۱۶ کم کربن            |

رویینگی آن داشته باشد. با توجه به این توضیحات، دلیل کم‌تر بودن مقدار چگالی جریان بحرانی رویینگی فولاد آستنیتی اول نسبت به سه فولاد دیگر، مقدار کروم بیش‌تر و منگنز کم‌تر آن می‌باشد.

با توجه به نمودارهای شکل (۳)، اثرات مخرب منگنز بر دیگر عوامل رویینگی آشکارتر می‌شود. همان‌طور که در شکل (۳) مشاهده می‌شود، چگالی جریان رویین در محدوده‌ی رویینگی، برای فولاد اول کم‌ترین و برای فولاد سوم بیش‌ترین است. دلیل این رفتار هم به مقادیر کروم (شکل (۴)) و منگنز آن مربوط می‌شود. با توجه به نتایج ارائه شده در جدول (۱)، فولاد آستنیتی اول دارای بیش‌ترین مقدار کروم و فولاد آستنیتی سوم، دارای بیش‌ترین مقدار منگنز است. همان‌طور که در شکل (۴) نیز مشاهده می‌شود، افزودن کروم باعث کاهش چگالی جریان رویین شده است [15,16].

افزون بر این، در شکل (۳) مشاهده می‌شود که مقدار پتانسیل شکست لایه‌ی رویین برای فولاد آستنیتی سوم کم‌ترین و برای فولاد اول، بیش‌ترین است. دلیل این رفتار هم با توجه به ترکیب شیمیایی فولادها و نتایج ارائه شده در شکل ۴، تفسیر شدنی است. همان‌طور که در شکل (۴) مشاهده می‌شود، افزودن عناصر کروم، وانادیم و سیلیسیم باعث افزایش

در جدول (۲)، مشاهده می‌شود که مقدار چگالی جریان بحرانی برای رویینگی فولاد آستنیتی سوم از سه فولاد دیگر بیش‌تر است. دلیل آن را می‌توان با توجه به شکل (۴) (تأثیر عناصر آلیاژی بر نمودار پلاریزاسیون آندی [15,16]) و اثرات مخرب عنصر منگنز، توضیح داد. همان‌طور که در شکل ۴ مشاهده می‌شود، افزایش عناصر کروم و وانادیم در ترکیب شیمیایی باعث کاهش چگالی جریان بحرانی آندی و در نتیجه، آسانی رویینگی آلیاژ می‌شود. با توجه به نتایج ارائه شده در جدول (۱)، میزان کروم فولاد سوم از دو فولاد اول و دوم کم‌تر و از فولاد چهارم بیش‌تر است. این در حالی است که مقدار چگالی جریان بحرانی رویینگی فولاد آستنیتی سوم از فولاد چهارم نیز بیش‌تر است که دلیل آن را می‌توان به مقدار بسیار بیش‌تر عنصر منگنز در آن نسبت داد. به‌طور کلی، منگنز مهم‌ترین عنصر جای‌گزین برای نیکل در طراحی فولادهای آستنیتی است که نسبت به نیکل، از قدرت کم‌تری برای پایدارسازی آستنیت برخوردار است. اما نکته‌ی منفی در مورد عنصر منگنز، افزودن بیش از حد آن است که باعث کاهش مقاومت به خوردگی و آسانی تشکیل ترکیب‌های بین‌فلزی می‌شود [6-8]. بنابراین، باید مقداری منگنز برای پایدارسازی فاز آستنیت استفاده کرد که کم‌ترین اثرات منفی را بر رفتار خوردگی و

و برای نمودار نایکویست فولاد زنگ‌نزن ۳۱۶ کم کربن، تنها یک حلقه‌ی خازنی ناقص دیده می‌شود که نشان‌دهنده‌ی تشکیل لایه‌ی رویین با خواص محافظتی بالا می‌باشد.

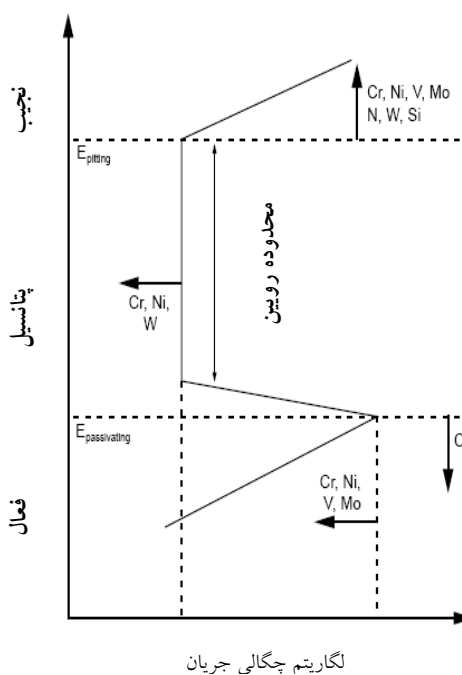
به‌طور کلی، یک پدیده‌ی الکتروشیمیایی را می‌توان با به‌دست آوردن معادله‌ی امپدانس آن، مطالعه کرد. مثلاً، طیف امپدانس به‌کمک مداری مناسب مدل‌سازی می‌شود و سپس، طیف تجربی مورد نظر با آن تطبیق داده می‌شود و به‌این ترتیب، مقادیر مربوط به اِلمان‌های مدار معادل به‌دست می‌آید. پس از آن، این مقادیر به پدیده‌ای شیمیایی- فیزیکی ارتباط داده می‌شود تا ثابت شود که مدار معادل حاصل، نمایش قابل قبولی از پدیده‌های در حال اتفاق است.

برای مدل‌سازی نمودارهای نایکویست مربوط به چهار فولاد آستنیتی تولیدی و فولاد زنگ‌نزن ۳۱۶ کم کربن، به‌ترتیب از مدار معادل شکل‌های (۶-الف) و (۶-ب) استفاده شد. در این مدار معادل‌ها، CPE المان فاز ثابت مربوط به فصل مشترک فولاد/ محلول، Rct مقاومت انتقال بار، Lsc القای مربوط به جذب اجزای فعال الکتروشیمیایی، Rsc مقاومت مربوط به جذب اجزای فعال الکتروشیمیایی در فصل مشترک فولاد/ محلول و R<sub>s</sub> مقاومت جبران‌ناپذیر محلول می‌باشد [18-20].

در شکل‌های (۷-الف) و (۷-ب)، نمودارهای نایکویست به‌همراه نمودارهای به‌دست آمده از مدل‌سازی برای چهار فولاد آستنیتی و فولاد زنگ‌نزن ۳۱۶ کم کربن، به‌ترتیب با مدار معادل شکل‌های (۶-الف) و (۶-ب) نشان داده شده‌اند. همان‌طور که در شکل‌های (۷-الف) و (۷-ب) دیده می‌شود، انطباق مناسبی بین داده‌های حاصل از آزمایش و نمودارهای مدل‌سازی مشاهده می‌شود.

در جدول (۳)، مقادیر المان‌های حاصل از مدل‌سازی با استفاده از مدار معادل‌های شکل‌های (۶-الف) و (۶-ب) و میزان خطای حاصل از مدل‌سازی،

پتانسیل شکست و در نتیجه، افزایش دامنه‌ی رویینگی شده است [15,16].



شکل ۴ تأثیر عناصر آلیاژی بر نمودار پلاریزاسیون آندی فلزاتی با قابلیت رویینگی [15,16]

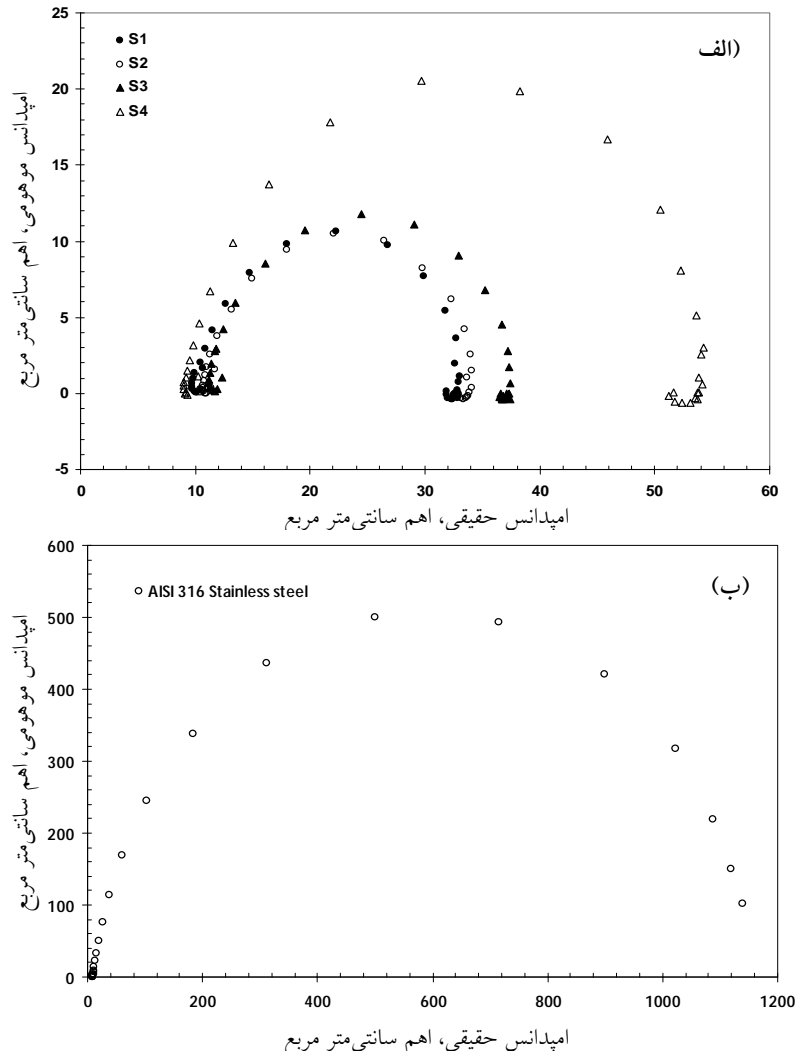
### آزمون طیف‌سنجی امپدانس الکتروشیمیایی

در شکل‌های (۵-الف) و (۵-ب)، به‌ترتیب نمودارهای نایکویست (Nyquist) (مقادیر امپدانس موهومی بر حسب امپدانس حقیقی) حاصل از طیف-سنجی امپدانس الکتروشیمیایی چهار فولاد آستنیتی کروم و منگنزدار و فولاد زنگ‌نزن ۳۱۶ کم کربن در محلول ۰/۱ مولار اسید سولفوریک پس از غوطه‌وری به‌مدت زمان نیم ساعت تحت شرایط پتانسیل مدار باز، نشان داده شده‌اند. همان‌طور که در شکل (۵-الف) مشاهده می‌شود، چهار نمودار نایکویست مربوط به فولادهای آستنیتی تولیدی، دارای رفتار مشابهی هستند. در ابتدا، در محدوده‌ی فرکانس‌های بالا و میانی، یک حلقه‌ی خازنی و در ادامه و در چند فرکانس انتهایی، یک رفتار شبه القایی برای هر چهار نمودار مشاهده می‌شود [17]. این در حالی است که در شکل (۵-ب)

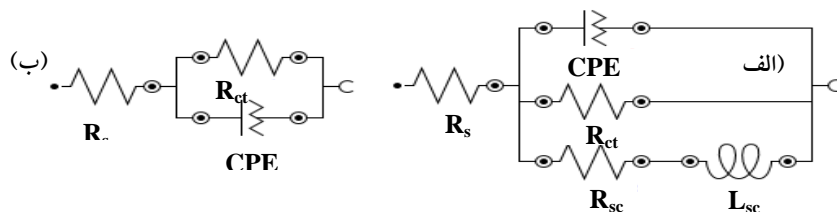


یافته است. این در حالی است که مقدار مقاومت انتقال بار برای فولاد زنگ‌نزن ۳۱۶ کم کربن، برابر با ۱۷۹۰ اهم سانتی‌متر مربع است.

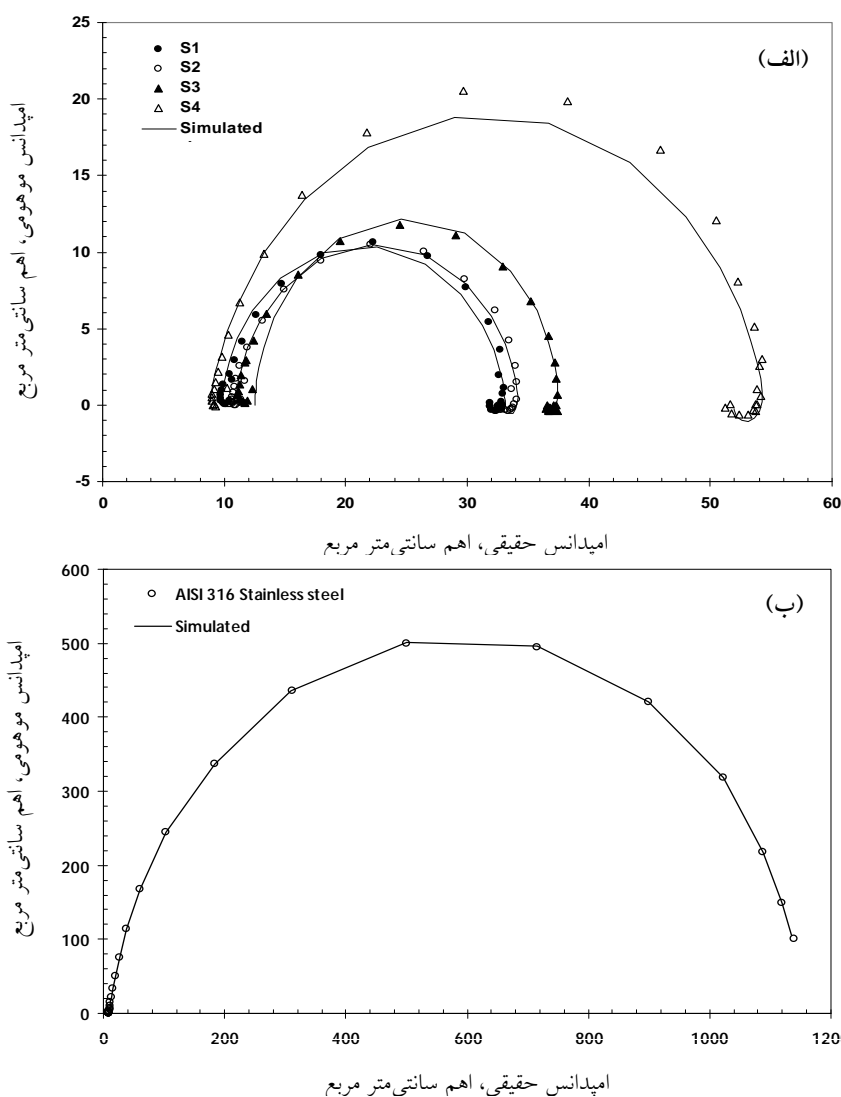
نشان داده شده‌اند. همان‌طور که در این جدول مشاهده می‌شود، مهم‌ترین المان مقاومت، انتقال بار است که مقدار آن از ۲۳/۳۳ اهم سانتی‌متر مربع برای فولاد اول به ۴۵/۷۶ اهم سانتی‌متر مربع برای فولاد چهارم افزایش



شکل ۵ نمودارهای نایکوئیست؛ (الف) چهار فولاد آستنیتی کروم و منگنزدار و (ب) فولاد زنگ‌نزن ۳۱۶ کم کربن در محلول ۰/۱ مولار اسید سولفوریک پس از نیم ساعت غوطه‌وری تحت شرایط پتانسیل مدار باز.



شکل ۶ مدار معادل مناسب برای مدل‌سازی نمودارهای نایکوئیست؛ (الف) چهار فولاد آستنیتی تولیدی و (ب) فولاد زنگ‌نزن ۳۱۶ کم کربن.



شکل ۷ نمودارهای نایکویست و مدل‌سازی شده؛ (الف) چهار فولاد آستنیتی تولیدی و (ب) فولاد زنگ‌نزن ۳۱۶ کم کربن

جدول ۳ مقادیر المان‌های حاصل از مدل‌سازی با استفاده از دو مدار معادل (شکل ۶)

|                           | $R_s$<br>( $\Omega \text{ cm}^2$ ) | $R_{ct}$<br>( $\Omega \text{ cm}^2$ ) | $Y_{0dl}$<br>( $\mu\text{F cm}^{-2} \text{ s}^{n-1}$ ) | $n_{dl}$ | $R_{sc}$<br>( $\Omega \text{ cm}^2$ ) | $L_{sc}$<br>( $\text{H cm}^2$ ) | $\chi^2$ |
|---------------------------|------------------------------------|---------------------------------------|--|----------|---------------------------------------|---------------------------------|----------|
| S1                        | ۹/۶                                | ۲۳/۳۳                                 | ۱۵۸/۷۵   | ۰/۹۲۲    | ۲/۲۱                                  | ۶۰۸/۸                           | ۰/۰۵۱    |
| S2                        | ۱۰/۸                               | ۲۳/۴۲                                 | ۲۵۷/۴۱   | ۰/۹۳۲    | ۳/۱۶                                  | ۲۹۷/۶                           | ۰/۰۳۲    |
| S3                        | ۱۱/۳                               | ۲۴/۹۹                                 | ۱۱۷/۳۶   | ۰/۹۸۲    | ۳/۸۳                                  | ۱۹۲/۶۹                          | ۰/۰۹۸    |
| S4                        | ۸/۸                                | ۴۵/۷۶                                 | ۱۹۳/۱۸   | ۰/۹۷۲    | ۴/۱۴                                  | ۱۶۶/۱                           | ۰/۰۷۷    |
| فولاد زنگ‌نزن ۳۱۶ کم کربن | ۹/۸                                | ۱۷۹۰                                  | ۱۶۸/۱۶   | ۰/۹۵۸    | ---                                   | ---                             | ۰/۰۳۲    |

محلول، در محدوده‌ی ۲ تا ۵ اهم سانتی متر مربع که محدوده‌ی کوچکی است، تغییر می‌کند.

با توجه به شکل (۸)، مقاومت پلاریزاسیون را

افزون بر این، در جدول (۳) مشاهده می‌شود که مقدار مقاومت ناشی از جذب اجزای فعال الکتروشیمیایی در فصل مشترک فولادهای آستنیتی با

سانتی متر مربع است و این، نشان‌دهنده‌ی مقاومت به خوردگی مناسب آن‌ها در این محیط اسیدی بود. ۳- نتایج این آزمون‌ها هم‌چنین نشان داد که چگالی جریان خوردگی چهار فولاد کروم و منگن‌دار، در حدود ۱۰ برابر بیش‌تر از فولاد زنگ‌نزن آستنیتی ۳۱۶ کم کربن است.

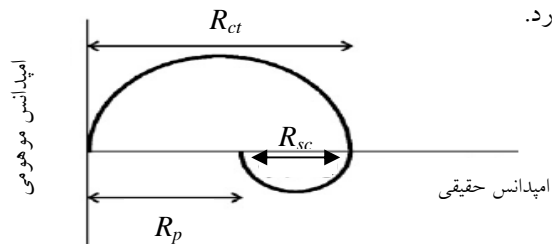
۴- نتایج آزمون‌های پلاریزاسیون پتانسیودینامیک نشان دادند که چهار فولاد کروم و منگن‌دار همانند فولاد زنگ‌نزن آستنیتی ۳۱۶ کم کربن، دارای رفتار روینگی مناسبی هستند.

۵- نتایج آزمون‌های طیف‌سنجی امپدانس الکتروشیمیایی نشان دادند که در نمودارهای نایکوئیست مربوط به چهار فولاد آستنیتی تولیدی و در محدوده‌ی فرکانس‌های بالا و میانی، یک حلقه‌ی خازنی و در چند فرکانس انتهایی، یک رفتار شبه القایی مشاهده می‌شود.

۶- نتایج این آزمون‌ها نشان دادند که در نمودار نایکوئیست مربوط به فولاد زنگ‌نزن ۳۱۶ کم کربن، تنها یک حلقه‌ی خازنی ناقص دیده می‌شود و این نشان‌دهنده‌ی تشکیل لایه‌ی رویین با خواص محافظتی بالا بود.

۷- نتایج مدل‌سازی طیف‌های امپدانس نشان دادند که مقاومت پلاریزاسیون از فولاد ۱ تا ۴ افزایش می‌یابد و این روند، با کاهش چگالی جریان خوردگی به‌دست آمده از آزمون‌های پلاریزاسیون پتانسیودینامیک مطابقت داشت.

می‌توان با دانستن مقادیر مقاومت انتقال بار و مقاومت ناشی از جذب اجزای فعال الکتروشیمیایی به‌دست آورد [20]. با استفاده از نتایج ارائه شده در جدول (۳) و کسر مقاومت ناشی از جذب اجزای فعال الکتروشیمیایی از مقاومت انتقال بار، مشخص می‌شود که مقاومت پلاریزاسیون از فولاد ۱ تا ۴ افزایش می‌یابد. این روند افزایش مقاومت پلاریزاسیون، با کاهش چگالی جریان خوردگی در جدول (۲) مطابقت دارد.



شکل ۸ محاسبه‌ی مقاومت پلاریزاسیون با استفاده از مقاومت انتقال بار و مقاومت مربوط به جذب اجزای فعال الکتروشیمیایی [20]

### نتیجه‌گیری

۱- بررسی تغییرات پتانسیل مدار باز چهار فولاد کروم و منگن‌دار تولیدی در این تحقیق نشان داد که با گذشت زمان، پتانسیل مدار باز این فولادها مانند فولاد زنگ‌نزن آستنیتی ۳۱۶ کم کربن، به‌سمت مقادیری مثبت منتقل می‌شود.

۲- نتایج آزمون‌های پلاریزاسیون پتانسیودینامیک نشان دادند که چگالی جریان خوردگی مربوط به چهار فولاد کروم و منگن‌دار، در محدوده‌ی  $10^{-4}$  آمپر بر

### مراجع

1. Bae, D.S., Nahm, S.H., Lee, H.M., Kinoshita, H., Shibayama, T., Takahashi, H., "Effect of electron-beam irradiation temperature on irradiation damage of high Mn-Cr steel", *Journal of Nuclear Materials*, vol. 329, pp.1038-1042, (2004).
2. Hosoi, Y., "Recent Research and Development Materials in Japan of Reduced Activation Ferrous", *ISI International*, vol. 30, pp.917-926, (1990).

3. Okada, M., Noda, T., Abe, F., "On the development of low activation materials for fusion reactors", *Journal of Nuclear Materials*, vol. 169, pp.249–256, (1989).
4. Klueh, R.E., Gelles, D.S., Okada, M., Packan, N. H., "Reduced Activation Materials for Fusion Reactors", ASTM STP 1047, American Society for Testing and Materials, Philadelphia, pp.30–46, (1990).
5. Fenici, P., Boerman, D., Coen, V., Lang, E., Ponti, C., Schule, W., "Properties of Cr-Mn austenitic stainless steels for fusion reactor applications", *Nuclear Engineering and Design/Fusion*, vol. 1, pp.167–183, (1984).
6. Klueh, R.L., Masiaasz, P.J., Lee, E.H., "Manganese as an Austenite Stabilizer in Fe-Cr-Mn-C Steels", *Materials Science and Engineering A*, vol. 102, pp.115–124, (1988).
7. Piatti, G., Schiller, P., "Thermal and mechanical properties of Cr-Mn-(Ni-free) austenitic steels for fusion reactor application", *Journal of Nuclear Materials*, vol. 141, pp.417–426, (1986).
8. Foldeaki, M., Ledbetter, H., "Magnetic properties of Cr-Mn austenitic stainless steels", *Journal of Magnetism and Magnetic Materials*, vol. 110, pp.185–196, (1992).
9. Onozuka, M., Saida, T., Hirai, S., Kusuhashi, M., Sato, I., Hatakeyama, T., "Low-activation Mn–Cr austenitic stainless steel with further reduced content of long-lived radioactive elements", *Journal of Nuclear Materials*, vol. 255, pp.128–138, (1998).
10. Betova, I., Bojinov, M., Englund, A., Fabricius, G., Laitinen, T., Makela, K., Saario, T., Sundholm, G., "Contact electric impedance and resistance studies of the conduction mechanism in passive films on ferrous alloys", *Electrochim Acta*, vol. 46, pp.3627–3640, (2001).
11. Bojinov, M., Fabricius, G., Laitinen, T., Saario, T., Sundholm, G., "Conduction mechanism of the anodic film on chromium in acidic sulphate solutions", *Electrochim Acta*, vol. 44, pp.247–261, (1998).
12. Betova, I., Bojinov, M., Laitinen, T., Makela, K., Pohjanne, P., Saario, T., "The transpassive dissolution mechanism of highly alloyed stainless steels I. Experimental results and modelling procedure", *Corrosion Science*, vol. 44, pp.2675–2697, (2002).
13. Zhao J., Chen G., "The synergistic inhibition effect of oleic-based imidazoline and sodium benzoate on mild steel corrosion in a CO<sub>2</sub>-saturated brine solution", *Electrochimica Acta*, vol. 69, pp.247–255, (2012).
14. Ruhi, G., Modi, O.P., Singh, I.B., "Pitting of AISI 304L stainless steel coated with nano structured sol-gel alumina coatings in chloride containing acidic environments", *Corrosion Science*, vol. 51, pp.3057–3063, (2009).
15. Roberge, P.R., "Handbook of Corrosion Engineering", McGraw-Hill Company, (2000).
16. Perez, N., "Electrochemistry and Corrosion Science", Kluwer Academic Publishers, (2004).

- 
17. Hermas, A.A., Morad, M.S., "A comparative study on the corrosion behaviour of 304 austenitic stainless steel in sulfamic and sulfuric acid solutions", *Corrosion Science*, vol. 50, pp.2710–2717, (2008).
  18. Bojinov, M., "The ability of a surface charge approach to describe barrier film growth on tungsten in acidic solutions", *Electrochimica Acta*, vol. 42, pp.3489–3498, (1997).
  19. Bojinov, M., "Modelling the formation and growth of anodic passive films on metals in concentrated acid solutions", *Journal of Solid State Electrochemistry*, Vol. 1, pp.161–171, (1997).
  20. David A. Harrington, P. van den Driessche, "Mechanism and equivalent circuits in electrochemical impedance spectroscopy", *Electrochimica Acta*, vol. 56, pp.8005–8013, (2011).
-

